

ฉบับแก้ไข

วงจรปรับเฟสของสัญญาณทางคิจทัลแบบ CORDIC

ภาควิชานิพัทธ์

ฝ่ายวิจัยและพัฒนาเทคโนโลยีโทรคมนาคม ศูนย์เทคโนโลยีอิเล็กทรอนิกส์และคอมพิวเตอร์แห่งชาติ
112 อุทยานวิทยาศาสตร์ประเทศไทย ถ. พหลโยธิน ต. ตลาดหมื่น อ. คลองหลวง จ. ปทุมธานี 12120
โทรศัพท์ 0 2564 6900 ต่อ 2533 โทรสาร 0 2564 6769 E-mail: phakphoom@nectec.or.th

ABSTRACT - A digital phase shifter based on CORDIC algorithm is proposed in this paper. Compared to an analog phase shifter, the signal can be linearly shifted by digital technique. In addition, more accurate result can be obtained. The phase shifter is designed for shifting the phase of the carrier of the IF signal. Hence, there is no effect to the data. By sampling the input signal 4 times of the carrier frequency, the proposed phase shifter can be simply implemented both in FPGA and VLSI. However, its accuracy may be degraded due to timing jitter produced by a PLL as shown in the paper.

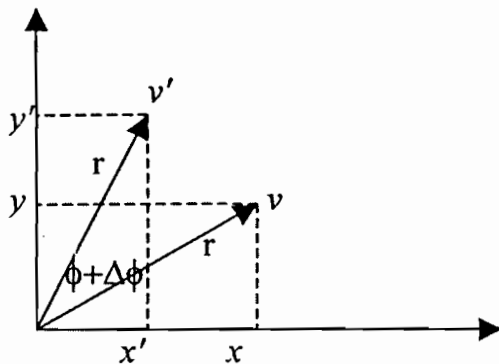
บทคัดย่อ - บทความฉบับนี้ได้เสนอวงจรการปรับเฟสของสัญญาณดิจิทัลแบบ CORDIC ซึ่งมีข้อดีคือสามารถปรับเฟสได้ถูกต้องแม่นยำกว่า การปรับเฟสในแบบอนาล็อก วงจรปรับเฟสที่นำเสนอเป็นการปรับเฟสที่ความถี่พากท์ จึงสามารถปรับเฟสได้โดยไม่มีผลต่อความถูกต้องของข้อมูล โดยการกำหนดให้ความถี่ที่ใช้สูงสัญญาณดิจิทัลมีค่าเป็น 4 เท่าของความถี่พากท์ทำให้นำไปออกแบบสร้างได้ง่ายทั้งใน VLSI และ FPGA อย่างไรก็ตามเนื่องจากต้องอาศัยวงจร PLL ในการสร้างสัญญาณสูง จึงมีค่าผิดพลาดที่เกิดขึ้นได้เนื่องมาจาก Timing Jitter ซึ่งได้ทำการวิเคราะห์และได้แสดงไว้พร้อมกันนี้

1. บทนำ

วงจรปรับเฟส เป็นส่วนสำคัญของสายอากาศแบบปรับทิศทางได้ (Smart Antenna) โดยจะทำหน้าที่ปรับเฟสของสัญญาณที่รับเข้ามาจากสายอากาศแต่ละด้านก่อนจะนำสัญญาณรวมกัน เพื่อให้สามารถรับสัญญาณที่อยู่ในทิศทางที่คำนวณมาได้ในข้างต้น ได้ชัดเจนขึ้น การปรับเฟสของสัญญาณสามารถทำได้ดังต่อไปนี้ สำหรับสัญญาณ RF, IF ลงมาถึงสัญญาณที่เป็น Base band แต่ในบทความนี้จะเสนอการปรับเฟสของสัญญาณ IF เนื่องจากสามารถนำไปใช้กับระบบโทรศัพท์เคลื่อนที่ที่มีโครงสร้างที่ต้องการปรับเฟสที่ต้องการ ได้ถูกต้องและแม่นยำกว่าการปรับเฟสในแบบอนาล็อก ในบทความนี้จะได้เสนอการปรับเฟส โดยใช้ CORDIC อัลกอริทึม ดังจะได้กล่าวต่อไป

1.1 CORDIC อัลกอริทึม

CORDIC ย่อมาจาก COordinate Rotation Digital Computer เป็น อัลกอริทึมที่เสนอโดย Volder [1] ในปี ค.ศ. 1956 ซึ่งถูกใช้ในการคำนวณทางคณิตศาสตร์ เช่น การหมุน plane ของ vector, การแปลงกลับไปในระบบ Cartesian (rectangular) และแบบ Polar, การคำนวณในตรีโกรณิติ, การถอดคราฟท์สองภาคหลังในปี 1971 Walther [2] ได้ทำการพัฒนาอัลกอริทึมนี้เพื่อให้ง่ายในการคำนวณ โดยมีเพียงการ Shift และ Add ของสัญญาณเท่านั้น และสามารถนำไปใช้ในการคำนวณที่เกี่ยวข้องกับ hyperbolic, logarithm, exponential function, การแปลงฟูเรีย (FFT, DCT) [3], การแยกเมทริก (Singular Value Decomposition) และการแก้สมการเชิงเส้น เพราะเหตุนี้ CORDIC จึงเป็นเครื่องมือที่สำคัญโดยเฉพาะอย่างยิ่งในด้านการประมวลผลสัญญาณดิจิทัล

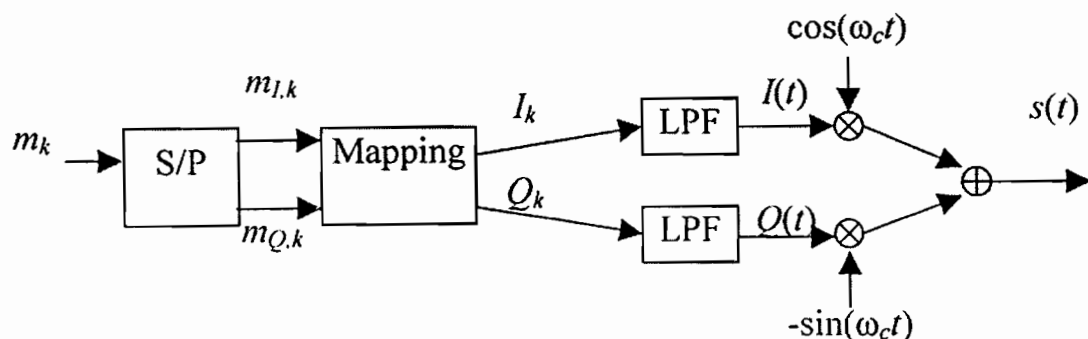
รูปที่ 1.1 การหมุนของเวคเตอร์ v ไปยังเวคเตอร์ v'

ในเมื่องดัน CORDIC อัลกอริทึมถูกออกแบบมาเพื่อการหมุนเวคเตอร์ ดังแสดงในรูปที่ 1.1 เวคเตอร์ v ที่มีขนาด r และมุม ϕ ถูกหมุนมาเป็น เวคเตอร์ v' ที่มีขนาด r มุม $\phi + \Delta\phi$ โดยสามารถเขียนเป็นสมการได้ว่า

$$\begin{aligned} x' &= r\cos(\phi + \Delta\phi) \\ &= r\cos(\phi)\cos(\Delta\phi) - r\sin(\phi)\sin(\Delta\phi) \\ &= x\cos(\Delta\phi) - y\sin(\Delta\phi) \\ &= \cos(\Delta\phi)(x - y\tan(\Delta\phi)) \end{aligned} \quad (1)$$

$$\begin{aligned} y' &= r\sin(\phi + \Delta\phi) \\ &= r\sin(\phi)\cos(\Delta\phi) + r\cos(\phi)\sin(\Delta\phi) \\ &= y\cos(\Delta\phi) + x\sin(\Delta\phi) \\ &= \cos(\Delta\phi)(y + x\tan(\Delta\phi)) \end{aligned} \quad (2)$$

1.2 แบบจำลองของสัญญาณ $\pi/4$ DQPSK

รูปที่ 1.2 $\pi/4$ DQPSK Modulation

โดยที่ $x = r\cos(\phi)$ และ $y = r\sin(\phi)$ เป็นค่าในแนวแกน x และ y ของ เวคเตอร์ v ส่วน x' และ y' เป็นค่าในแนวแกน x และ y ของเวคเตอร์ v' เพื่อให้การคำนวณหาค่าง่ายขึ้น แทนที่จะหมุนเวคเตอร์ที่เดิมทั้งหมด $\Delta\phi$ เรเดียน เวคเตอร์ v' ถูกหมุนเป็นมุมเดิมๆ ครั้งละ $\Delta\phi_i$ เป็นจำนวน n ครั้ง นอกจานี้ซึ่งคำนวณให้ $\tan(\pm\Delta\phi_i) = \pm 2^{-i}$ โดยที่ $\Delta\phi_i < \pi/2$ และ $i = 0, \dots, n-1$ เพื่อให้สามารถคำนวณและนำไปใช้ได้ง่ายๆ ดังนั้น จะได้ว่า

$$\begin{aligned} x_{i+1} &\approx K_i(x_i - dy_i 2^{-i}) \\ y_{i+1} &\approx K_i(y_i - dx_i 2^{-i}) \\ \Delta\phi &= \sum_i d_i \tan^{-1}(2^{-i}) \\ d_i &\in \{-1,+1\} \end{aligned} \quad (3)$$

โดยค่าคงที่ $K_i = \cos(\tan^{-1}(2^{-i})) = 1/\sqrt{1+2^{-2i}}$ หาก n มีค่ามากๆ เมื่อ ปรับ เฟส จน ครบ ครั้ง จะ มี ค่า ก ที่ ร วน $K = \prod_i K_i = \prod_i 1/\sqrt{1+2^{-2i}} \approx 0.6072$ โดยวิธีนี้ CORDIC อัลกอริทึมจึงถูกนำมาใช้ออกแบบเป็นวงจร VLSI [4] ได้ง่ายๆ นอกจากนี้ในปัจจุบันยังสามารถใช้ CORDIC อัลกอริทึมน FPGAs ได้อีกด้วย [5] ในส่วนต่อไปจะได้กล่าวถึงผลของการปรับเพิ่มของสัญญาณ IF ด้วย วงจร CORDIC ที่ โดยทำการจำลองระบบสื่อสารแบบ Narrowband ที่ใช้มอduleชั้นแบบ $\pi/4$ DQPSK (Differential Quadrature Phase-Shift Keying) เป็นระบบตัวอย่าง

นอคูเลชันแบบ $\pi/4$ DQPSK (Differential Quadrature Phase-Shift Keying) ในรูปที่ 2 เป็นนอคูเลชันแบบหนึ่งที่นิยมใช้ในระบบสื่อสารข้อมูล m_k จะถูกนำมาเรียงลำกันเป็นแทร็คก์กันแทร็ค ($m_{I,k}, m_{Q,k}$) โดยใช้วิธีเปลงสัญญาณจากอนุกรมเป็นขนาดนาน ข้อมูลจะถูกเข้ารหัสโดยทุก 2 มิติ จะแทนบุนเดินเพสที่จะเปลี่ยนไปจากบุนเดินซึ่งจะได้เป็นสัญญาณ I_k (In-phase) และ Q_k (Quadrature)

$$\begin{aligned} I_k &= \cos\theta_k & = I_{k-1}\cos\alpha_k - Q_{k-1}\sin\alpha_k \\ Q_k &= \sin\theta_k & = I_{k-1}\sin\alpha_k + Q_{k-1}\cos\alpha_k \end{aligned} \quad (4)$$

โดยที่ $\theta_k = \theta_{k-1} + \alpha_k$, θ_k เป็นเฟสของ symbol ที่ k และ $k-1$ ส่วน เป็นเฟสที่เปลี่ยนไปตามข้อมูล $m_{I,k}$ และ $m_{Q,k}$ สมการของ I_k และ Q_k ข้างบนนี้สามารถอธิบายอีกอย่างตามนัยของ CORDIC ได้ว่า เป็นการหมุนของเวคเตอร์ (I_{k-1}, Q_{k-1}) ด้วยบุนเดินเพส α_k ไปข้างด้านหนึ่ง ใหม่คือที่เวคเตอร์ (I_k, Q_k) นั่นเอง

หลังจากนั้น จะถูกกรองความถี่สูงที่ไปเพื่อให้สามารถส่งข้อมูลผ่านอากาศได้โดยไม่มีการลดตอนของสัญญาณมากนัก ก่อนที่จะถูกคุณด้วยคลื่นพาห์เพื่อให้ได้สัญญาณ RF ก่อนที่จะส่งผ่านสายอากาศออกไป

สัญญาณ RF สามารถเขียนแทนเป็นสมการทางคณิตศาสตร์ได้ว่า [6]

$$s(t) = I(t)\cos(\omega_c t) - Q(t)\sin(\omega_c t) = a(t)\cos(\omega_c t + \theta(t)) \quad (5)$$

โดยที่ $\theta(t) = \tan^{-1}(I(t)/Q(t))$ เป็นความต่างเฟสของสัญญาณของข้อมูลที่อยู่ติดกัน, $a(t) = \sqrt{(I(t)^2 + Q(t)^2)}$ คือขนาดของสัญญาณมอคูเลชันที่เวลา t

ความน่าจะเป็นในการเกิดความผิดพลาดในการรับส่งในระดับสัญญาณ (Symbol Error Rate-SER) ของ $\pi/4$ DQPSK ผ่าน White Gaussian Channel ในทางทฤษฎีมีค่าเท่ากับ [7][8]

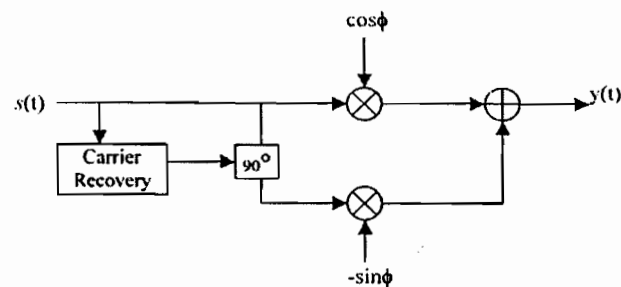
$$Pe = 1 - Q(a, b) + Q(b, a) \quad (6)$$

โดยที่ $Q(a, b)$ เป็น Marcum's Q-function และ $a, b = \sqrt{((2 \pm \sqrt{2})Eb/N_0)}$ โดยที่ Eb/N_0 คืออัตราส่วนระหว่างพลังงาน

ที่ส่งใน 1 บิตของข้อมูลต่อกำลังของสัญญาณรบกวนซึ่งค่าทางทฤษฎีนี้จะถูกใช้ในการเปรียบผลจากการจำลองการทำงานจริงปรับเพสต่อไป

2. การปรับเฟสของสัญญาณ

2.1 การปรับเฟสของสัญญาณด้วย CORDIC อัลกอริทึม



รูปที่ 2.1 วงจรปรับเฟสของสัญญาณด้วย CORDIC อัลกอริทึม

เราสามารถปรับเฟสของสัญญาณ IF ดิจิทัลได้โดยอาศัยหลักการของ CORDIC แสดงในรูป 2.1 เพื่อให้สามารถดัดแปลงรั้งได้ง่ายๆ สัญญาณ IF จะถูกสุ่มที่ความถี่เป็น 4 เท่าของความถี่คลื่นพาห์ ทั้งนี้ก็เพื่อให้สามารถปรับมุม 90° ของสัญญาณได้โดยอาศัย Shift Register เพียงตัวเดียว ดังนั้นจึงต้องอาศัยวงจร Phase Lock Loop (PLL) 加以กัน nok ในการสร้างสัญญาณสุ่ม ที่ความถี่เป็น 4 เท่าของความถี่ของคลื่นพาห์

สัญญาณขาออก $y(t)$ สามารถเขียนเป็นสมการได้ดังนี้

$$y(t) = s(t)\cos\phi - s(t-T_s)\sin\phi \quad (7)$$

โดยที่ T_s เป็นค่าของ การสุ่ม ซึ่งเป็นหนึ่งในสี่ของค่าของความถี่พาห์ T_c , ด้วย $s(t)=a(t)\cos(\omega_c t + \theta(t))$ เป็นสัญญาณที่มีการมอคูเลชันแบบ $\pi/4$ DQPSK จะได้ว่า

$$y(t) =$$

$$a(t)\cos(\omega_c t + \theta(t))\cos\phi - a(t-T_s)\cos(\omega_c(t-T_s) + \theta(t-T_s))\sin\phi \quad (8)$$

เนื่องจากเฟสของสัญญาณถูกปรับที่ความถี่พาห์ ซึ่งมีค่าสูงกว่า Symbol rate มาก เช่น ในระบบ PHS มีความถี่ IF อยู่ที่ 10.8 MHz ถ้าคิดความถี่ในการสุ่มเป็น 4 เท่า ก็จะได้ความถี่ในการสุ่มสัญญาณที่ 43.2 MHz ใน

ขณะที่ symbol rate อยู่ที่ 192 Symbol/s. ก็ติดเป็น 225 เท่า ดังนั้นเราจึงสามารถประมาณได้ว่า $a(t) = a(t - T_s)$ และ $\theta(t) = \theta(t - T_s)$

สัญญาณ $y(t)$ จึงสามารถเขียนได้เป็น

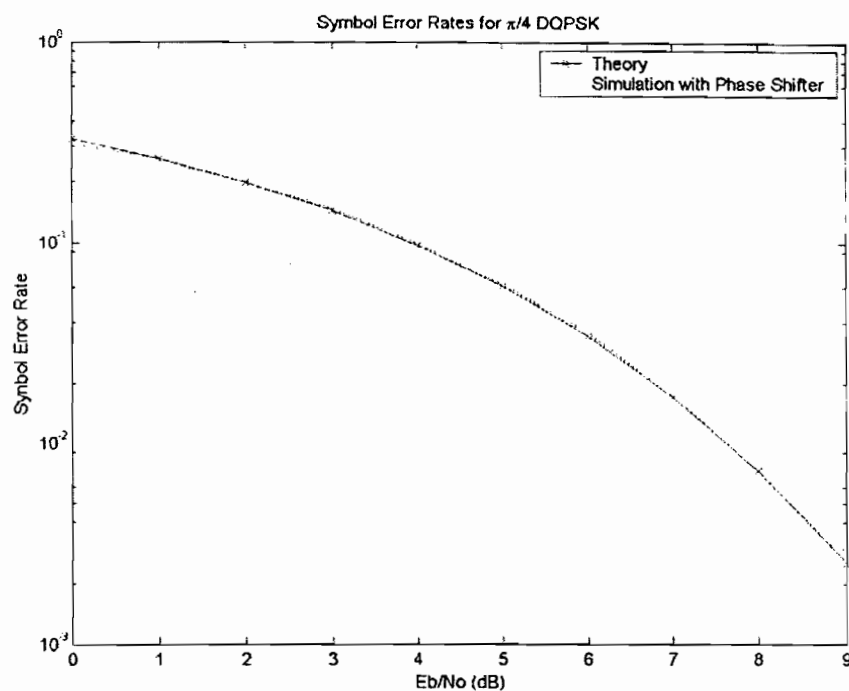
$$\begin{aligned} y(t) &= a(t) \{ \cos(\omega_c t + \theta(t)) \cos \phi - \cos(\omega_c t - T_s/4) + \\ &\quad \theta(t) \sin \phi \} \\ &= a(t) \{ \cos(\omega_c t + \theta(t)) \cos \phi - \cos(\omega_c t - \pi/2 + \\ &\quad \theta(t)) \sin \phi \} \\ &= a(t) \{ \cos(\omega_c t + \theta(t)) \cos \phi - \sin(\omega_c t + \theta(t)) \sin \phi \} \\ &= a(t) \cos(\omega_c t + \theta(t) + \phi) \end{aligned} \quad (9)$$

นั่นคือ $y(t)$ เป็นสัญญาณ $x(t)$ ที่ถูกปรับมุนไป ϕ เเรเดียน นอกจากระยะในรูป 2.1 แล้วเราข้างสามารถสร้างสัญญาณที่มีเฟสต่างกัน 90° ได้โดย

ใช้ Hilbert Transform Filter ซึ่งจะไม่ของกล่าวยในรายละเอียดในบทความนี้ ผู้สนใจสามารถศึกษาได้จาก [9]

2.2 ผลของการปรับเฟสต่อ Symbol Error Rate (SER)

ดังที่ได้กล่าวมาแล้วข้างต้นว่า เพื่อของสัญญาณถูกปรับที่ความถี่ IF ซึ่งสูงกว่า Symbol rate มาก ดังนั้นเราจึงคาดว่าจะปรับเฟสที่ใช้มิหลต่อ SER มากนัก รูปที่ 2.2 แสดง SER ที่ได้จากการจำลองระบบ ด้วยโปรแกรม Matlab ของระบบ $\pi/4$ DQPSK โดยเน้น เมื่อปรับเฟสไปที่มุม $0, \pi/6, \pi/4, \pi/3, \pi/2, 2\pi/3, 3\pi/4, 5\pi/6$ และ π จะเห็นได้ว่า ค่าที่ได้ใกล้เคียงกันค่าที่คำนวณทางทฤษฎี และไม่เปลี่ยนแปลงตามการปรับเฟส



รูปที่ 2.2 แสดง SER ของ $\pi/4$ DQPSK โดยเน้น เมื่อปรับเฟสแบบ CORDIC

2.3 ผลของ Timing Jitter ต่อวงจรปรับเฟสแบบ CORDIC

เนื่องจากวงจรปรับเฟสที่เสนอขึ้นอยู่กับประสิทธิภาพของวงจร PLL ซึ่งใช้ในการสร้างสัญญาณสุ่มที่ความถี่เป็น 4 เท่าของความถี่พาร์ฟอดี ดังนั้นหากในกรณีมีความคลาดเคลื่อนเกิดขึ้นในวงจร PLL ย่อมทำให้เฟสที่ปรับคลาดเคลื่อนไปด้วย ดังจะได้กล่าวในส่วนนี้ต่อไป

สมมติให้ ความถี่สุ่มนี้ค่าคลาดเคลื่อนไป a เท่า นั่นคือ $T_s = aT_c/4$ สัญญาณที่ออกจากวงจรปรับเฟสจะเป็น

$$\begin{aligned} y(t) &= \\ &a(t) \{ \cos(\omega_c t + \theta(t)) \cos \phi - \cos(\omega_c t - aT_c/4 + \theta(t)) \sin \phi \} \end{aligned} \quad (10)$$

เพราะว่า

$$\begin{aligned} \cos(\omega_c t - a\omega_c T_c/4 + \theta(t)) \\ = \cos(\omega_c t - a\omega_c T_c/4 + \theta(t)) \\ = \cos(\omega_c t + \theta(t)) \cos(a\omega_c T_c/4) + \sin(\omega_c t + \theta(t)) \sin(a\omega_c T_c/4) \\ = \cos(\omega_c t + \theta(t)) \cos(a\pi/2) + \sin(\omega_c t + \theta(t)) \sin(a\pi/2) \end{aligned}$$

จะได้ว่า

$$\begin{aligned} y(t) \\ = a(t) \{ \cos(\omega_c t + \theta(t)) \cos \phi - \cos(\omega_c t + \theta(t)) \cos(a\pi/2) \sin \phi \\ - \sin(\omega_c t + \theta(t)) \sin(a\pi/2) \sin \phi \} \\ = a(t) \{ \cos(\omega_c t + \theta(t)) \cos(\varphi(a, \phi)) \\ - \sin(\omega_c t + \theta(t)) \sin(\varphi(a, \phi)) \} \\ = a(t) \cos(\omega_c t + \theta(t) + \varphi(a, \phi)) \end{aligned} \quad (11)$$

โดยที่

$$\begin{aligned} \cos(\varphi(a, \phi)) &= \cos \phi - \cos(a\pi/2) \sin \phi \\ \sin(\varphi(a, \phi)) &= \sin(a\pi/2) \sin \phi \end{aligned} \quad (12)$$

เพราะฉะนั้น นุ่มที่เปลี่ยนไปเป็นมีค่าเป็น

$$\varphi(a, \phi) = \tan^{-1} \{ \sin(\varphi(a, \phi)) / \cos(\varphi(a, \phi)) \}$$

Phase error of the phase shifter due to timing jitter

สังเกตว่าเทอมในวงเล็บปีกกาข้างบน เป็นค่าในแกน x ที่เกิดจาก การ หมุนของเวคเตอร์

$$(x, y) = (\cos(\omega_c t + \theta(t)), \sin(\omega_c t + \theta(t))) \quad (13)$$

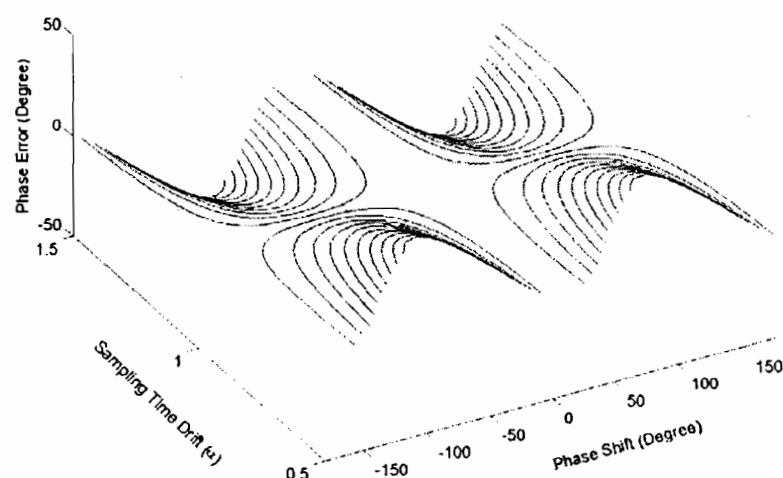
เป็นนุ่ม $\varphi(a, \phi)$ ซึ่งจะได้ค่าใหม่ที่หมุนไปเป็น

$$\begin{aligned} x' &= \cos(\omega_c t + \theta(t)) \cos(\varphi(a, \phi)) - \sin(\omega_c t + \theta(t)) \sin(\varphi(a, \phi)) \\ y' &= \sin(\omega_c t + \theta(t)) \cos(\varphi(a, \phi)) + \cos(\omega_c t + \theta(t)) \sin(\varphi(a, \phi)) \end{aligned} \quad (14)$$

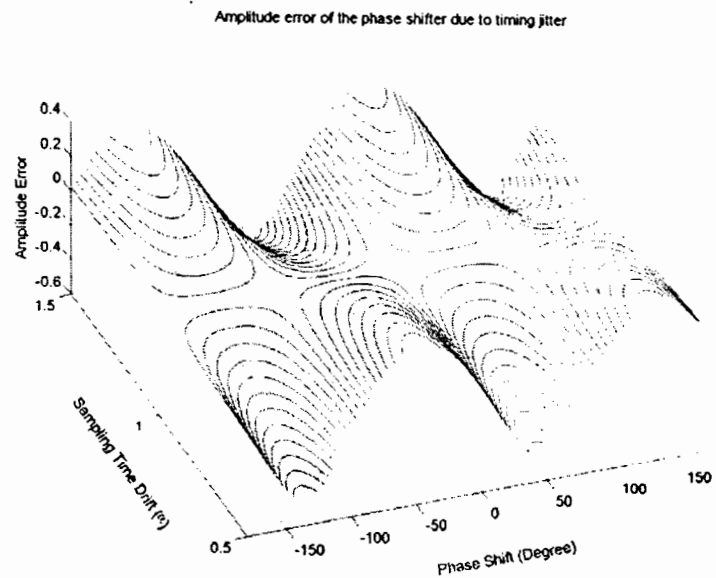
ขนาดของเวคเตอร์หลังจากที่มีการหมุนจึงมีค่าเป็น

$$\sqrt{(x'^2 + y'^2)} = \sqrt{(\cos^2(\varphi(a, \phi)) + \sin^2(\varphi(a, \phi)))} \quad (15)$$

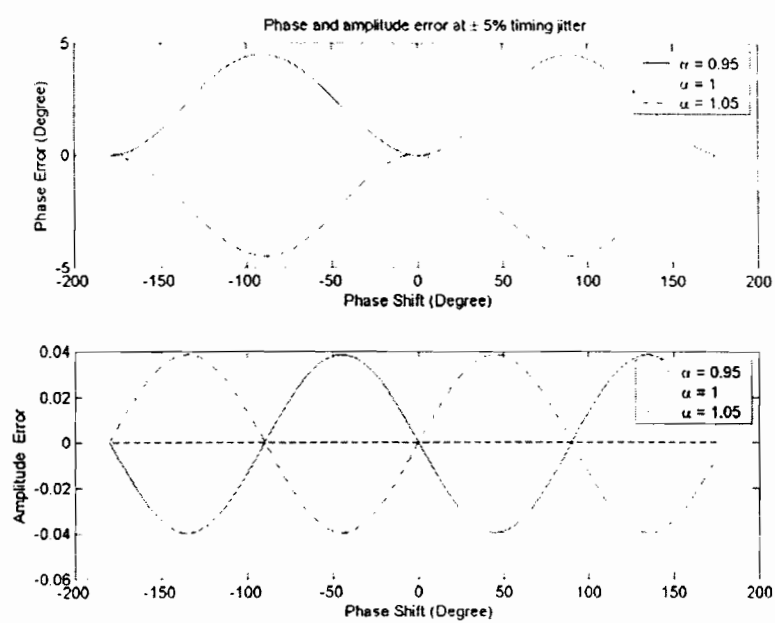
รูปที่ 2.3 และ 2.4 แสดงนุ่มและขนาดที่ผิดพลาดไปเนื่องจากผลของ Timing Jitter โดยที่ $a = 0.5-1.5$ ส่วนรูปที่ 2.5 แสดงนุ่มและขนาดที่ ผิดพลาดไปเนื่องจากผลของ Timing Jitter ที่ $a = 0.95$ และ 1.05 ซึ่งคิด เป็น 10% ของความถี่ที่ใช้ในการสุ่ม ซึ่งพบว่ามุ่นที่ผิดพลาดมากที่สุด คือที่มุ่น 90° โดยมีค่าผิดพลาดประมาณ 4.5°



รูปที่ 2.3 แสดงนุ่มที่ผิดพลาดไปเนื่องจากผลของ Timing Jitter โดยที่ $a = 0.5-1.5$



รูปที่ 2.4 แสดงขนาดที่สำคัญๆ ไปในเรื่องจากผลของ Timing Jitter โดยที่ $\alpha = 0.5-1.5$



รูปที่ 2.5 แสดงมุมและขนาดที่สำคัญๆ ไปในเรื่องจากผลของ Timing Jitter ที่ $\alpha = 0.95$ และ 1.05

3. สรุป

บทความจนบันนี้ได้เสนอวิธีการปรับเพาเวอร์ของสัญญาณดิจิทัลแบบ CORDIC ซึ่งมีข้อดีคือสามารถปรับเพาเวอร์ได้ถูกต้องแม่นยำกว่า การปรับเพาเวอร์ในแบบอนามัย ในเบื้องต้นจะต้องสร้างวงจรที่ปรับเพาเวอร์สัญญาณที่รับเข้ามาให้เป็น 90° เสียก่อน ซึ่งอาจทำได้โดยใช้ Hilbert Transform Filter หรือโดยการกำหนดให้ความถี่ที่ใช้สูบสัญญาณดิจิทัลนี้ค่าเป็น 4 เท่าของความถี่พาร์ทที่ทำให้นำไปออกแบบสร้างได้ง่ายทั้งใน VLSI และ FPGA นอกจากนี้การปรับเพาเวอร์ที่ความถี่พาร์ท (IF) ทำให้เราสามารถปรับเพาเวอร์ได้โดยไม่มีผลต่อความถูกต้องของข้อมูล เมื่อได้สัญญาณ 2 สัญญาณที่มีเฟสต่างกัน 90° จึงทำการปรับเพาเวอร์โดยใช้ CORDIC Algorithm ต่อไปได้

อย่างไรก็ตามเนื่องจากต้องอาศัยวงจร PLL ในการสร้างสัญญาณสูบ จึงอาจมีค่าผิดพลาดที่เกิดขึ้นได้เนื่องมาจาก Timing Jitter ซึ่งได้ทำการวิเคราะห์และพบว่าที่ Timing Jitter เท่ากับ $\pm 5\%$ ของความถี่ในการสูบ วงจรปรับเพาเวอร์ที่เสนอจะมีค่าผิดพลาดประมาณ 4.5° ดังนั้นหากต้องการวงจรปรับเพาเวอร์ที่มีความถูกต้องแม่นยำ จะต้องมีวงจร PLL หรือวงจร Hilbert Transform Filter ที่ดีด้วย

เอกสารอ้างอิง

- [1] Volder, J. E. (1959), The CORDIC trigonometric computing technique, *IRE Trans. Electron. Comput.*, vol. EC-8, no. 3, 330-334.
- [2] Walther, J. S. (1971), A unified algorithm for elementary function, *The Spring Joint Comput. Conf.*, 379-385.
- [3] Despain, A. M. (1974), Fourier transform computers using CORDIC iterations, *IEEE Trans. Compt.*, vol. 23, 993-1001.
- [4] Dewilde, P., Deprettere, E. and Nouta, R. (1985), Parallel and pipelined VLSI implementation of signal processing algorithms, *VLSI and Modern Signal Processing*, S. Y. Kung, Ed., 257-276.
- [5] www.xilinx.com/bvdocs/ipcenter/data_sheet/cordic.pdf (2004), Xilinx Intellectual Property: CORDIC V3.0, *DS349 Product Specification*.
- [6] Rappaport, T. S. (2002) *Wireless Communication: Principles and Practice*, Pearson Education, India.
- [7] Miller, L. E. and Lee, J. S. (1998), BER expressions of differentially detected $\square/4$ DQPSK modulation, *IEEE Trans. Commun.*, vol. 46, 71-81.
- [8] Proakis, J. G. (1995), *Digital Communications*, McGraw-Hill, NY.
- [9] Mitra, S. K. (1998), *Digital Signal Processing: A Computer-Based Approach*, McGraw-Hill, NY.



ภาควิชานักศึกษาสาขาวิศวกรรมศาสตร์บัณฑิต สาขาวิศวกรรมไฟฟ้า จากสถาบันเทคโนโลยีพระจอมเกล้าพระนครเหนือ ในปี 2535
วิทยาศาสตร์มหาบัณฑิต สาขาวิศวกรรมไฟฟ้า จาก University of Rochester ประเทศสหรัฐอเมริกา ในปี 2539 และปรัชญาดุษฎีบัณฑิต สาขาวิศวกรรมไฟฟ้า จากสถาบันเทคโนโลยีนานาชาติสิรินธร มหาวิทยาลัยธรรมศาสตร์ ในปี 2545
ปัจจุบันทำงานที่ ศูนย์เทคโนโลยีอิเล็กทรอนิกส์และคอมพิวเตอร์แห่งชาติ มีความเชี่ยวชาญทางด้าน การประมวลผลสัญญาณดิจิทัล การออกแบบวงจรปรับความถี่แบบดิจิทัล การประมวลผลสัญญาณจากสายอากาศแบบอาร์บี และการประมวลผลสัญญาณโทรคมนาคม